

リブプレートに面外曲げ剛性を考慮した
リブプレートに力解析について

北大工学部 正員 能町 純雄
比叡工業大学 正員 大島 俊之

1. まえがき

著者は先に膜理論によるリブプレートに力解析について報告¹⁾し、今回はリブプレートに面外曲げ剛性を考慮した式の誘導と数値計算を行なったことを報告したい。==を用いた板の曲げを考慮したことは、Donald L. Dean²⁾が発表したが、彼は Noncomposite Membrane-Flexural Analysis と呼んでいる。本報告においては、板の面外曲げを無視したれまの式と残りの力について数値的に比較を行ない、膜理論が人体良い値を与えていることを述べたい。

2. 逐次積分法と定積分変換について

れまの式に何度が報告されているが、我々を用いている逐次積分法は定積分変換と共に応用力学分野で広く応用できる。二次元応力状態におけるフリエリエを考えると、一般に次のような形式の微分方程式を得る。⁴⁾

$$K \nabla^2 U + G_1 U + G_2 V = 0 \quad (1)$$

この段階では変位 U, V は x 方向に連続な関数である。次に座標を等間隔な数列の軸と考えると、考えられている領域内の変位はそれぞれのみ定義され、その中間は直線的に変化すると考える。==を用いて板の有限個の変位の値をあらわされた差分方程式は文献³⁾によつて次のように与えられる。

$$\frac{K}{\lambda} \Delta_x^2 U_{x-1} + \frac{G_1 \lambda}{2} (\Delta_x^2 U_{x-1} + 6 U_x) + \frac{G_2}{2} \Delta_x V_x = 0 \quad (2)$$

== $\lambda =$ 区間長, $\Delta_x f(x) = f(x+\lambda) - f(x)$, $\Delta_x^2 f(x) = f(x+2\lambda) - 2f(x+\lambda) + f(x)$

れまの式で、この差分方程式は S. G. Nomachi and K. G. Matsuoka⁵⁾ によつて発表されているように、有限級数とフリエリエ変換と逆変換を行なうことができる。

フリエリエ無限展開においても、収束の速い解曲線の場合には半周期区間の級数とのみで十分に精度よい解を得ることができる。⁶⁾ また後述の図からも判るが、単一集中荷重による荷重点近傍 $a \ll x$ となるように精度の悪いものは、半周期の有限級数と二者の間にかなりの差異があることを数値計算から知ることもできる。

3. 解法

図を参照して、次の五本のフリエリエ式を得る。

- 1) $y = Y$ における x 方向のリブとリブプレートとの接合線にそつて剪断力のフリエリエ
 - 2) 同様 $x = X$ における y 方向の剪断力のフリエリエ。
 - 3) 直交するリブの交点 (X, Y) における z 方向のフリエリエ。
 - 4) x 方向のリブ下側の境界条件
 - 5) y 方向のリブ下側の境界条件
- これらはそれぞれ次のように表わされる。

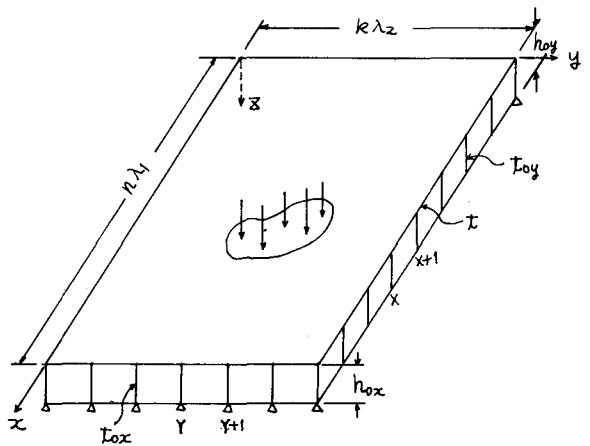


図-1. リブプレート

$$T_{Y,Y+1}^0(x) + T_{Y,Y-1}^0(x) + T_Y^{0z}(x) = 0 \quad (3)$$

$$T_{X,X+1}^0(y) + T_{X,X-1}^0(y) + T_X^{0z}(y) = 0 \quad (4)$$

$$\begin{aligned} & C(x, x+1) - C(x, x-1) + C(y, y+1) - C(y, y-1) \\ &= -P_{xy} + D \Delta^2 W \cdot \lambda_1 \lambda_2 \end{aligned} \quad (5)$$

$$T_Y^{z0}(x) = 0 \quad (6) \quad T_X^{z0}(y) = 0 \quad (7)$$

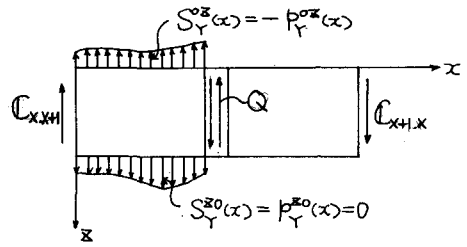


図-2. リブ要素

== z alphabet a 小文字座標 x, y は Continuous Coordinates, 大文字 X, Y は Discrete Coordinates を表わして置く。

$$D = \frac{E \pi^2}{12(1-\nu^2)}, \quad \Delta^2 = \frac{\partial^4}{\partial x^4} + 2 \frac{\partial^4}{\partial x^2 \partial y^2} + \frac{\partial^4}{\partial y^4} \quad (\text{Laplace の演算子})$$

上式 (3), (4), (6), (7) の T はこれをこのように文献⁷⁾の変位剪断公式を代入すると、2階常微分方程式が得られるので、前述の逐次積分によって差分方程式を導くこともできるが、= Δx = Δy ならば文献³⁾にあるので、== 正は (5) 式から差分方程式を導く過程については述べて置かぬ。

文献⁷⁾の (13) 式より、リブ要素に作用する力と変位の関係式は次式で与えられる。(図2参照)

$$G \Delta_x h_{ox} \dot{W} - G t_{ox} (U^{0z} - U^z) = (\bar{S}_Y^{0z} - \bar{S}_Y^{z0}) + C \cdot h_{ox} = -\bar{P} + C \quad (8)$$

次に上式の変位 U に前述と同じ変位仮定を行なうと、x 方向に一度 0 ~ λ までは積分を行ない、境界合計剪断力 C に等しい解くと次式を得る。

$$C_{X,X+1} = \frac{G t_{ox} h_{ox}}{\lambda} \Delta_x W_x - \frac{G t_{ox}}{2} (\nabla_x U_x^{0z} - \nabla_x U_x^{z0}) + \frac{\bar{P}}{\lambda} \int_0^\lambda \quad (9)$$

$$== z, \quad \nabla f(x) = f(x+1) - f(x)$$

同様にして、 $C_{X,X-1}$, $C_{Y,Y+1}$, $C_{Y,Y-1}$ についても導くこともできるが、これを (5) 式に代入する。

$$\begin{aligned} & \frac{G t_{ox} h_{ox}}{\lambda_1} \Delta_x^2 W_{X-1,Y} + \frac{G t_{oy} h_{oy}}{\lambda_2} \Delta_y^2 W_{X,Y-1} + \frac{G t_{ox}}{2} (\Delta_x U_{X,Y}^{0z} - \Delta_x U_{X,Y}^{z0}) \\ &+ \frac{G t_{oy}}{2} (\Delta_y U_{X,Y}^{0z} - \Delta_y U_{X,Y}^{z0}) = -P_{xy} - \frac{1}{\lambda_1} (\bar{P}_{X,X+1} \int_0^{\lambda_1} + \bar{P}_{X,X-1} \int_0^{\lambda_1}) - \frac{1}{\lambda_2} (\bar{P}_{Y,Y+1} \int_0^{\lambda_2} + \bar{P}_{Y,Y-1} \int_0^{\lambda_2}) \\ &+ D \lambda_1 \lambda_2 \Delta^2 W \end{aligned} \quad (10)$$

$$\text{手元接点 } W \text{ 区} \quad W(x, y) = \frac{4}{\pi^2} \sum_{m=1}^{n-1} \sum_{k=1}^{k-1} S_m S_k [W(x, y)] \sin \frac{m\pi x}{n} \sin \frac{k\pi y}{k} \quad (11)$$

$$S_m S_k [W(x, y)] = \sum_{m=1}^{n-1} \sum_{k=1}^{k-1} W(x, y) \sin \frac{m\pi x}{n} \sin \frac{k\pi y}{k} \quad (12)$$

と仮定し、変換を行なうと (10) は次のようになる。

$$\begin{aligned} & - \left[\frac{G t_{ox} h_{ox}}{\lambda_1} D_m + \frac{G t_{oy} h_{oy}}{\lambda_2} D_k + \lambda_1 \lambda_2 D \cdot \pi^4 \left\{ \left(\frac{m}{n \lambda_1} \right)^2 + \left(\frac{k}{k \lambda_2} \right)^2 \right\} \right] S_m S_k [W_{xy}] \\ &+ G t_{ox} \sin \frac{m\pi}{n} (R_m S_k [U_{xy}] - R_m S_k [U_{xy}^z]) + G t_{oy} \sin \frac{k\pi}{k} (S_m R_k [U_{xy}] - S_m R_k [U_{xy}^z]) \\ &= -S_m S_k [P_{xy}] + \bar{P}_B \end{aligned} \quad (13)$$

== z P_{xy} は外力と z の荷重成分の合計値であるから、また \bar{P}_B は変換による境界値成分である。

含まれるものとする。

また、他の4本をより良い式(3), (4), (6), (7)より求めた差分式に変換すると以下2本の剛性方程式を得る。

$$[K] \{U\} = \{F\} + \{F_B\} \quad (14)$$

$= \sum \{U\}^T = \{R_m S_i[U_{XY}], R_m S_i[U_{XY}^z], S_m S_i[W_{XY}], S_m R_i[U_{XY}^z], S_m R_i[U_{XY}^z]\}$,
 $\{F\}$ は $S_m S_i[F_{XY}]$ を含む、各より良い式の方向の対角の荷重項、 $\{F_B\}$ は境界値から求まる付加荷重項である。 $[K]$ は 5×5 の対称マトリックスで、その内容は次の様である。

$$k_{11} = -\left(\frac{N_x}{\lambda_1} + \frac{N_{ox}}{3\lambda_1}\right) D_m + \frac{N_x}{6\lambda_1} D_m D_i - \frac{G_{tox} \lambda_1}{h_{ox}} \left(1 - \frac{D_m}{\delta}\right) - \frac{G \lambda_1}{\lambda_2} D_i \left(1 - \frac{D_m}{\delta}\right)$$

$$k_{12} = -\frac{N_{ox}}{6\lambda_1} D_m + \frac{G_{tox} \lambda_1}{h_{ox}} \left(1 - \frac{D_m}{\delta}\right), \quad k_{13} = G_{tox} \sin \frac{m\pi}{n}, \quad k_{14} = 0, \quad k_{15} = -G_{tox} \sin \frac{i\pi}{k} \sin \frac{m\pi}{n}$$

$$k_{22} = -\frac{N_{ox}}{3\lambda_1} D_m - \frac{G_{tox} \lambda_1}{h_{ox}} \left(1 - \frac{D_m}{\delta}\right), \quad k_{23} = -G_{tox} \sin \frac{m\pi}{n}, \quad k_{24} = k_{25} = 0$$

$$k_{33} = -\frac{G_{tox} h_{ox}}{\lambda_1} D_m - \frac{G_{tox} h_{ox}}{\lambda_2} D_i - D_i \pi^2 \lambda_1 \lambda_2 \left\{ \left(\frac{m}{n\lambda_1}\right)^2 + \left(\frac{i}{k\lambda_2}\right)^2 \right\}, \quad k_{34} = -G_{tox} \sin \frac{i\pi}{k}$$

$$k_{35} = G_{tox} \sin \frac{i\pi}{k}, \quad k_{44} = -\frac{N_{oy}}{3\lambda_2} D_i - \frac{G_{toy} \lambda_2}{h_{oy}} \left(1 - \frac{D_i}{\delta}\right), \quad k_{45} = -\frac{N_{oy}}{6\lambda_2} D_i + \frac{G_{toy} \lambda_2}{h_{oy}} \left(1 - \frac{D_i}{\delta}\right)$$

$$k_{55} = -\left(\frac{N_y}{\lambda_2} + \frac{N_{oy}}{3\lambda_2}\right) D_i + \frac{N_y}{6\lambda_2} D_m D_i - \frac{G_{toy} \lambda_2}{h_{oy}} \left(1 - \frac{D_i}{\delta}\right) - \frac{G \lambda_2}{\lambda_1} D_m \left(1 - \frac{D_i}{\delta}\right)$$

以上から、(14)式を解いて、逆変換を行なうと各点の変位が求まる。また変位が求まると、応力は応力係数から、アキアプレート内の各方向の各点の応力が求められる。

$$\left[\left(1 - \frac{D_i}{\delta}\right) N_x + \frac{N_{ox}}{4} \right] S_i [\dot{U}_{XY}] = \left[\left(1 - \frac{D_i}{\delta}\right) \frac{N_x}{\lambda_1} + \frac{N_{ox}}{4\lambda_1} \right] S_i [\Delta_x U_{XY}] + G \lambda_1 \left(\frac{t_{ox}}{4 h_{ox}} - \frac{t}{6 \lambda_2} D_i \right) x$$

$$(z \cdot S_i [U_{XY}] + S_i [U_{X+1,Y}]) - \frac{G_{tox} \lambda_1}{4 h_{ox}} (z \cdot S_i [U_{XY}^z] + S_i [U_{X+1,Y}^z])$$

$$- \frac{G_{tox}}{2} \sin \frac{i\pi}{k} (R_i [U_{X+1,Y}] - R_i [U_{XY}]) - \frac{3}{4} G_{tox} (S_i [W_{X+1,Y}] - S_i [W_{XY}]) \quad (15)$$

4. 数値計算例

周辺単純支持のリアプレートについて、次の断面諸元を計算し、板の面外曲げを考慮しない場合の値と、Timoshenkoによる連続体としての換算断面二次モーメントによる計算値と比較して示した。(図3.4)

$$E = 40,000 \text{ kg/cm}^2, \quad G = 20,000 \text{ kg/cm}^2, \quad \lambda_1 = \lambda_2 = 10 \text{ cm}, \quad t = t_{ox} = t_{oy} = 5 \text{ mm},$$

$$h_{ox} = h_{oy} = 6 \text{ cm}, \quad n = 8, \quad k = 6$$

5. まとめ

1). 以上、Deanの手法によつて板の out-of-plane stiffness を考慮して、リアプレートの解析を行なった。数値計算例から判る様に設計上は膜理論で十分と思われるが、集中荷重の作用点近くには応力を過大評価したり、過小評価したりする二つのない様、他の解析法による場合も数値結果をよく検討する必要があると思う。

2). また、アキアプレートが筒状板の様に厚くなるに、板の曲げ剛性がかなり大きくなるので、各矩形要素に曲げを考慮する式によつて解析する必要があるが、これは別途発表したい。

3). リア間隔が大きくなると、高さが高くなるに、直線性の仮定がどの程度まで近似的かという精度の問題がある設計上重要と思われるが、この点も検討したいと思う。

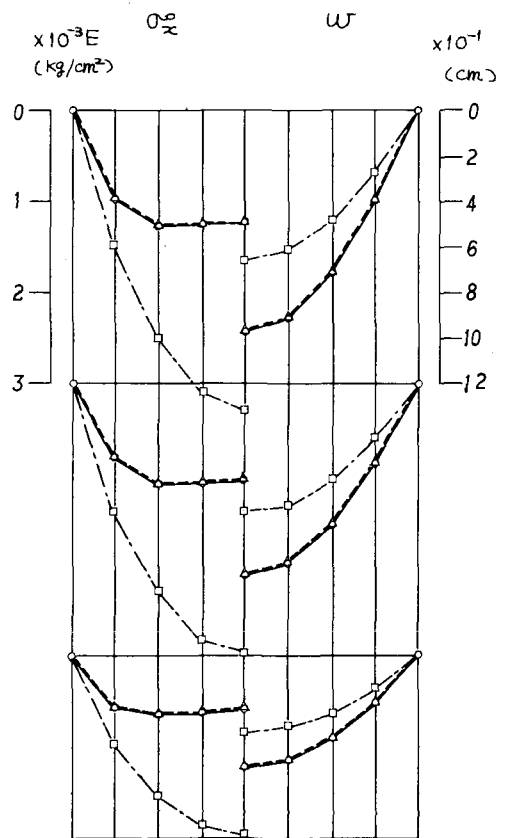
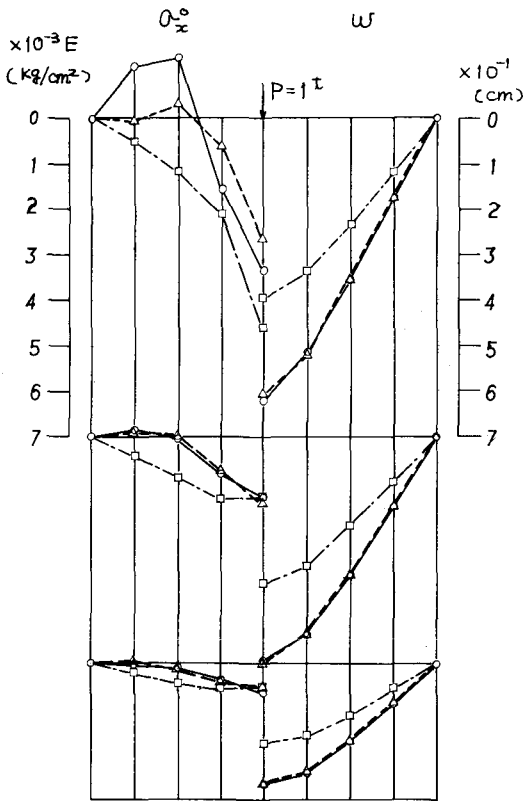
計算は北大の FACOM 230-60 と北見工大の OKITAC 4500 によつて行なった。

参考文献

- 1). 能町, 松岡, 大島: 土木学会北海道支部論文集 第27号 (1971) P.19.
- 2). Donald L. Dean: Analysis of Slab-Stringer-Diaphragm System; The Report to The North Carolina State Highway Commission and The U.S. Department of Transportation Bureau of Public Roads (1970).
- 3). 能町, 松岡, 大島: マトリクス構造解析法研究発表会論文集, 第5回 (1971).
- 4). 能町, 大島: 土木学会第27回年次学術講演会概要集 P.330 (1972).
- 5). S.G. Nomachi and K.G. Matsuoka: Applications of Finite Fourier Integration Transforms for Structural Mechanics.; Proc. of the 20th Jap. Nat. Cong. for Appl. Mech. (1970)
- 6). Donald L. Dean and Hora V.S. GangaRao: Proc. of A.S.C.E. EM4 (1970) Macro Approach to Discrete Field Analysis
- 7). 能町, 土木学会論文集 第146号 (1967)

図-3. 板中央に集中荷重載荷の場合

図-4. 等分布荷重 $q=1 \text{ kg/cm}^2$ 載荷の場合



- デッキプレート上面外曲の剛性を考慮した場合
- △---△ " " 考慮した場合 (Dean法)
- Timoshenkoの板理論